

# Homework No.7

Ruqi Feng

November 2022

## 1 Simple Pendulum

### 1.1 Description

Write a program to numerically solve a simple pendulum's motion using Euler's midpoint method, RK4, Euler-trapezoidal method (implement these methods by yourself). Plot the angle and total energy as a function of time. Explain the results.

### 1.2 Solution

考虑一个  $n$  阶 ODE

$$c_n f^{(n)}(x) + c_{n-1} f^{(n-1)}(x) + c_{n-2} f^{(n-2)}(x) + c_1 f'(x) + c_0 f(x) = 0 \quad (1)$$

可以通过换元  $f^{(k)}(x) \rightarrow y_k (k \leq n_{max} - 1)$  被转化为一阶 ODE 组:

$$\frac{dy_n}{dx} = -\frac{c_{n-1}y_{n-1} + c_{n-2}y_{n-2} + c_1y_1 + c_0y_0}{c_n} \quad (2)$$

$$\frac{dy_{n-1}}{dx} = y_n \quad (3)$$

$$\dots \quad (4)$$

$$\frac{dy_k}{dx} = y_{k+1} \quad (5)$$

$$\dots \quad (6)$$

$$\frac{dy_0}{dx} = y_1 \quad (7)$$

写成向量形式，就是

$$\frac{d\vec{y}}{dx} = \vec{f}(\vec{y}, x) \quad (8)$$

对于单摆， $\ddot{\theta} = -k \sin \theta$ ，其中  $k = \frac{g}{l}$  Eq.8中的  $\vec{f}$  不显含时，于是有

$$\frac{dy_0}{dx} = y_1 \quad (9)$$

$$\frac{dy_1}{dx} = -k \sin \theta \quad (10)$$

其中  $y_0 = \theta$ ,  $y_1 = \dot{\theta}$  下面我们使用四种方法解这个 ODE:

### 1.2.1 Euler

把  $\vec{y}$  关于  $x$  展开到第 1 阶

$$\vec{y}(x + \delta x) = \vec{y}(x) + \frac{d\vec{y}}{dx} \delta x + O(\delta x) \quad (11)$$

将 Eq.8 and Eq.9代入得

$$\vec{y}_{i+1} = \vec{y}_i + \vec{f}(\vec{y}_i, x_i) \delta x + O(\delta x) \quad (12)$$

其中  $\delta x$  为步长。只要输入初始的  $\vec{y}_0, x_0$  和  $\vec{f}(\vec{y}_0, x_0)$ ，迭代即可求解。

### 1.2.2 Midpoint

为了得到更准确的导数，用 Euler 法得到的  $y_{i+1}$  估计中点，再利用中点的导数  $\vec{f}(\vec{y} + \Delta y_{attempt}/2, x + h/2)$  进行迭代。其中

$$\Delta y_{attempt} = \vec{f}(\vec{y}_i, x_i) \delta x \quad (13)$$

### 1.2.3 RK-4

假设  $\vec{y}_{i+1}$  的变化量是不同位置  $(x_j, y_j)$  的导数的线性组合

$$\vec{y}(x_{i+1}) = \vec{y}(x_i) + \sum_{j=1}^n a_{ij} \vec{f}_{ij} \delta x \quad (14)$$

其中

$$\vec{f}_{ij} = \vec{f}(y_i + \sum_{k=1}^j b_{jk} \vec{f}_{ik} \delta x, x_i + c_{ij} \delta x) \quad (15)$$

于是对于某一个求解步  $i$  我们获得了  $a_{ij}, b_{jk}, c_{ij}$  额外的自由度。于是我们可以调整这些参数让更高阶的 Taylor 公式被满足。4 阶 RK 法中，有 4 个  $\vec{f}$  被求解出，在常数时间复杂度内让局部精度达到了  $o(h^4)$ 。对应的参数为

$$k_1 = \vec{f}(x_i, y_i) \quad (16)$$

$$k_2 = \vec{f}(x_i + \frac{1}{2}\delta x, y_i + \frac{1}{2}k_1\delta x) \quad (17)$$

$$k_3 = \vec{f}(x_i + \frac{1}{2}\delta x, y_i + \frac{1}{2}k_2\delta x) \quad (18)$$

$$k_4 = \vec{f}(x_i + \delta x, y_i + k_3\delta x) \quad (19)$$

#### 1.2.4 Euler-trapazoidal

为了在函数变化较平缓的地方减少计算开销，我们希望在这些地方增加步长，影响精度较小。E-T 方法就是一个变步长的方法。它的基本思想是在某一个求解步的位置上迭代计算直到  $\vec{f}$  收敛到希望的精度。

首先用 Euler 法得到初始迭代

$$\vec{y}_{i+1,0} = \vec{y}_i + \vec{f}_{i,0}\delta x \quad (20)$$

得到  $\vec{f}_{i+1,0} = \vec{f}(x)$  迭代计算导数

$$\vec{y}_{i+1,j} = \vec{y}_i + (\vec{f}_{i,0} + \vec{f}_{i+1,j})\frac{\delta x}{2} \quad (21)$$

其中

$$\vec{f}_{i+1,j+1} = \vec{f}(x + \delta x, \vec{y}_{i+1,j}) \quad (22)$$

### 1.3 Input and Outputs

用四种方法求解并画出  $\theta$  和  $\omega$  对时间的图像。步长均为  $1e-3s$ (ET 法收敛判断条件为  $1e-5$ )，求解  $10 \rightarrow 20s$  内的运动。可以看出，Euler 法的角度振幅逐渐变大，而其他方法没有明显的变化。单摆的方程是能量守恒的，所以为了研究各个数值方法的精度，将能量对时间画出。除了 Euler 法中，能量非周期性的偏移主导外，其他各个方法中能量周期性震荡，而非周期性的偏移与之相比很小。这代表着虽然这些方法并不保证能量守恒，但能量的总体偏移也较小。其中 RK-4 在周期中能量波动的相对误差很小，达到了  $1e-11$ 。z

程序使用了 numpy, matplotlib 库。在安装了依赖库的环境中运行 q1\_pendulum.py 即可。下面是程序运行的截图。

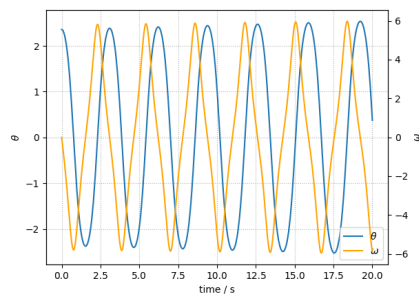


图 1: Euler 法

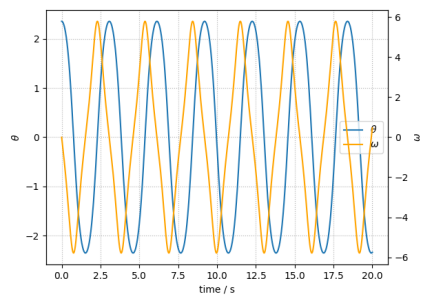


图 2: midpoint 法

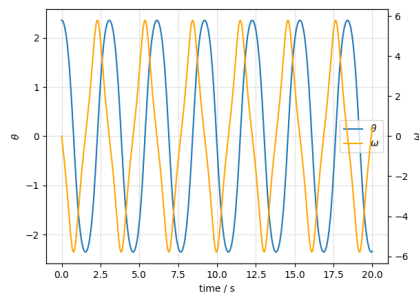


图 3: Runge-Kutta - 4 order 法

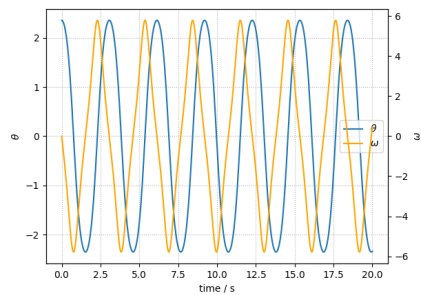


图 4: Euler-Trapezoidal 法

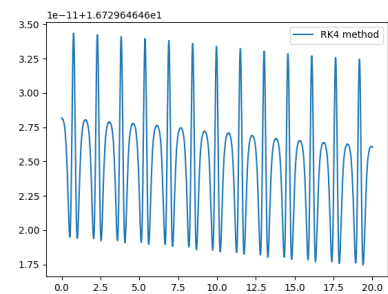


图 5: RK-4 法, 能量变化

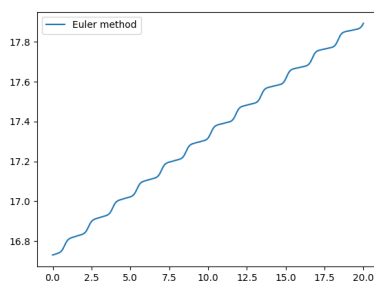


图 6: Euler 法, 能量变化

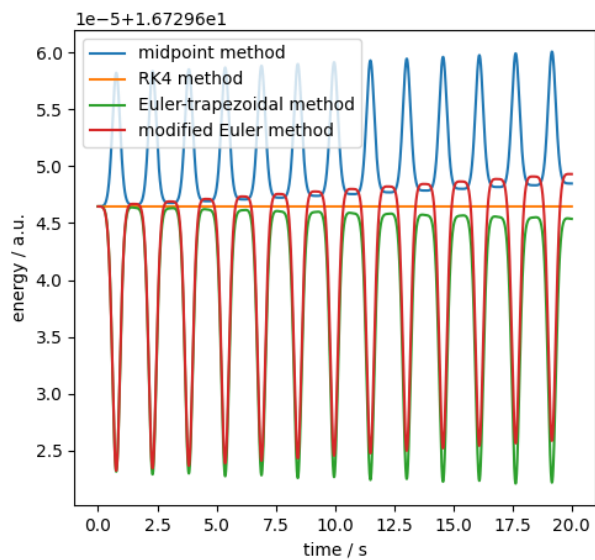


图 7: midpoint method, Euler-Trapezoidal method, modified Euler method 的能量变化。可以看出 RK-4 法比其他更精确。

## 1.4 Pseudocode

---

### Algorithm 1 Simple Pendulum: Euler

---

**Input:**  $k$ , or  $\frac{g}{l}$ ,  $\theta_0$ ,  $\dot{\theta}_0$   $h$ ,  $t_m$   
**Output:**  $E(t)$ ,  $\theta(t)$

- 1:  $t \leftarrow 0$
- 2:  $\omega[0] \leftarrow \dot{\theta}_0$
- 3:  $\theta[0] \leftarrow \theta_0$
- 4: **while**  $t < t_m$  **do**
- 5:      $\theta[i+1] \leftarrow \theta[i] + \omega h$
- 6:      $\omega[i+1] \leftarrow \omega[i] - k \sin \theta[i] h$
- 7:      $t \leftarrow t + h$
- 8: **end while**
- 9:  $\vec{E} \leftarrow \frac{1}{2} l^2 \omega^2 + g^2 l^2 (1 - \cos \theta)$   $\triangleright$  set  $m$  as 1
- 10: **return**  $\vec{E}, \vec{\theta}$

---



---

### Algorithm 2 Simple Pendulum: midpoint

---

**Input:**  $k$ , or  $\frac{g}{l}$ ,  $\theta_0$ ,  $\dot{\theta}_0$   $h$ ,  $t_m$   
**Output:**  $E(t)$ ,  $\theta(t)$

- 1:  $t \leftarrow 0$
- 2:  $\omega[0] \leftarrow \dot{\theta}_0$
- 3:  $\theta[0] \leftarrow \theta_0$
- 4: **while**  $t < t_m$  **do**
- 5:      $\theta_{mid} \leftarrow \theta[i] + \omega h$
- 6:      $\omega_{mid} \leftarrow \omega[i] - k \sin \theta[i] h$
- 7:      $\theta[i+1] \leftarrow \theta[i] + \frac{\omega[i] + \omega_{mid}}{2} h$
- 8:      $\omega[i+1] \leftarrow \omega[i] - k \sin(\frac{\theta[i] + \theta_{mid}}{2}) h$
- 9:      $t \leftarrow t + h$
- 10:      $i \leftarrow i + 1$
- 11: **end while**
- 12:  $\vec{E} \leftarrow \frac{1}{2} l^2 \omega^2 + g^2 l^2 (1 - \cos \theta)$   $\triangleright$  set  $m$  as 1
- 13: **return**  $\vec{E}, \vec{\theta}$

---

---

**Algorithm 3** Simple Pendulum: E-T

---

**Input:**  $k$ , or  $\frac{g}{l}$ ,  $\theta_0$ ,  $\dot{\theta}_0$   $h$ ,  $t_m$

**Output:**  $E(t)$ ,  $\theta(t)$

```
1:  $t \leftarrow 0$ 
2:  $\omega[0] \leftarrow \dot{\theta}_0$ 
3:  $\theta[0] \leftarrow \theta_0$ 
4: while  $t < t_m$  do
5:    $\theta_{last} \leftarrow \theta[i] + \omega h + 1$ 
6:    $\omega_{last} \leftarrow \omega[i] - k \sin \theta[i] h + 1$ 
7:    $\theta_{tmp} \leftarrow \theta[i] + \omega h$ 
8:    $\omega_{tmp} \leftarrow \omega[i] - k \sin \theta[i] h$ 
9:   while  $(\theta_{tmp} - \theta_{last})^2 + (\omega_{tmp} - \omega_{last})^2 < 1e-5$  do
10:     $\theta_{last} \leftarrow \theta_{tmp}$ 
11:     $\omega_{last} \leftarrow \omega_{tmp}$ 
12:     $\theta_{tmp} \leftarrow \theta[i] + \frac{\omega[i] + \omega_{last}}{2} h$ 
13:     $\omega_{tmp} \leftarrow \omega[i] - k(\frac{\sin \theta[i]}{2} + \frac{\sin \theta_{last}}{2}) h$ 
14:   end while
15:    $\theta[i+1] \leftarrow \theta_{tmp}$ 
16:    $\omega[i+1] \leftarrow \omega_{tmp}$ 
17:    $t \leftarrow t + h$ 
18:    $i \leftarrow i + 1$ 
19: end while
20:  $\vec{E} \leftarrow \frac{1}{2} l^2 \omega^2 + g^2 l^2 (1 - \cos \theta)$  ▷ set m as 1
21: return  $\vec{E}, \vec{\theta}$ 
```

---

---

**Algorithm 4** Simple Pendulum: RK-4

---

**Input:**  $k$ , or  $\frac{g}{l}$ ,  $\theta_0$ ,  $\dot{\theta}_0$   $h$ ,  $t_m$

**Output:**  $E(t)$ ,  $\theta(t)$

1:  $t \leftarrow 0$

2:  $\omega[0] \leftarrow \dot{\theta}_0$

3:  $\theta[0] \leftarrow \theta_0$

4: **while**  $t < t_m$  **do**

5:      $\theta_{mid} \leftarrow \theta[i] + \omega h$

6:      $\omega_{mid} \leftarrow \omega[i] - k \sin \theta[i] h$

7:      $\theta[i+1] \leftarrow \theta[i] + \frac{\omega[i] + \omega_{mid}}{2} h$

8:      $\omega[i+1] \leftarrow \omega[i] - k \sin(\frac{\theta[i] + \theta_{mid}}{2}) h$

9:      $t \leftarrow t + h$

10:     $i \leftarrow i + 1$

11: **end while**

12:  $\vec{E} \leftarrow \frac{1}{2} l^2 \omega^2 + g^2 l^2 (1 - \cos \theta)$

▷ set m as 1

13: **return**  $\vec{E}, \vec{\theta}$

---



## 2 Radial Schrodinger Equation

### 2.1 Description

Write a program to numerically solve radial Schrödinger equation (see details in the slides) for

- $V(r) = -1/r$  (hydrogen atom)
- $V_{loc}(r)$

Compute and plot the first three eigenstates.

### 2.2 Solution

我们知道径向 Schrodinger 方程可以写成

$$\left(\frac{\hbar^2}{2m} \frac{d^2}{dr^2} + E - V(r) - \frac{\hbar^2 l(l+1)}{2mr^2}\right)u = 0 \quad (23)$$

其中

$$u(r) = r\psi(r) \quad (24)$$

是归一化的径向波函数。因此和 Sec.1一致，我们可以将此方程转化为 2 元的 1 阶 ODE 组。但这里  $E$  未知，是一个本征值方程。

注意到边界条件

$$u(0) = 0 \quad (25)$$

$$u(\infty) = 0 \quad (26)$$

所以在不考虑归一化时，边界导数可以任取，相当于  $u \rightarrow \lambda u$  一定仍然满足 Eq.23。于是本征值问题可以转化为解方程

$$u_\infty(E) = 0 \quad (27)$$

其中  $u_\infty$  在给定  $E$  时可以由初始条件  $u(0)$  解得。等价地，也可以从  $r = \infty$  作为解 ODE 的初始条件，寻找使得  $u(0) = 0$  的  $E$ ，这被称为 shooting 法。我采用了 bisection 方法解 Eq.27，并用 RK-4 解 ODE 组。为了确定各个解的初始区间，我先在在不同  $l$  下足够大的区域内画出  $u(\infty)$  关于  $E$  的图像，从而找到 3 个最低的本征能量的大致范围。

## 2.3 Input and Outputs

取  $\frac{\hbar^2}{m} = 1$  以及  $\frac{e^2}{4\pi\epsilon_0} = 1$ 。

### 2.3.1 hydrogen atom

可以注意到, 取  $r_\infty$  为约 100 以上时,  $u_\infty$  零点对应的能量已经基本收敛。所以取  $r_\infty = 100$ 。由 Fig.8,9, 10可以看出, 在势能  $V_1(r) = \frac{1}{r}$  时,  $l$  增大 1 会使得最小的本征能量被去除; 而某个  $l$  的所有本征能量都包含在  $l-1$  的本征能量中。这对应着某个  $n$  能级的能量是  $n(n+1)$  度简并的。

最小 3 个能量的本征态可以是  $l = 0$  的最小三个能量。分别为约 0.5, 0.125, 0.0555...。用 bisection 法可以解得能量为

$n$	$E/\alpha^2 m_e c^2$
1	-0.4999992370605469
2	-0.12499923706054687
3	-0.055555603027343749

值得注意的是, 从  $u_\infty$  开始求解和  $u_0$  开始求解给出了完全一致的结果。这说明从两个方向求解 ODE 的过程中差别不大。但在画出本征态的过程中, 可以看出11中的虚线, 即从 0 开始求解时,  $u_\infty$  并不能满足, 而从 0 开始求解却可以。我认为, 这是由于

$$\left\| \frac{\partial u_\infty}{\partial E} \right\| \gg \left\| \frac{\partial u_0}{\partial E} \right\| \quad (28)$$

即使求解 ODE 的过程中没有误差,  $u_\infty$  也会因为  $E$  受限于浮点数精度不是精确值而出现大幅度偏离。类似地,  $u_\infty$  也会受到 RK-4 求解误差的影响, 这也可能是  $u_\infty$  发散而  $u_0$  不发散的原因。

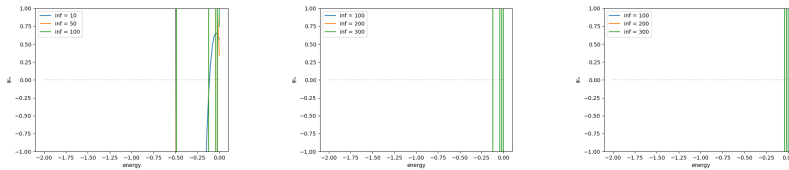


图 8:  $u_\infty(E)$  在  $l = 0$  图 9:  $u_\infty(E)$  在  $l = 1$  图 10:  $u_\infty(E)$  在  $l = 2$

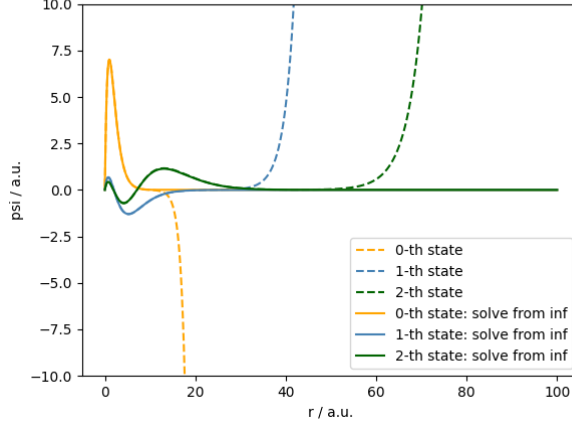


图 11: 从两个方向代入  $E$  求解  $u(r)$ , 从 0 开始求解时, 在一段时间后  $u_\infty$  会发散

### 2.3.2 pseudo potential

取势能为2.1并再次画出  $u_\infty(E)$  的图像, 如 Fig.12, 13, 14所示。可以看出最小的能量约为  $-4$  在  $l = 0$ , 第二小约  $-1.1$  在  $l = 1$ , 第三小在  $-1.1$  约  $l = 0$ . 而且可以明显看出不同  $l$  的简并解除了。可以求解出三个最小能量是

$n$	$E/\alpha^2 m_e c^2$
1	-4.458247184753418
2	-1.122279167175293
3	-1.1154321670532226

画出对应的本征态如图15所示, 可以发现  $l = 0$  的最小、第二小能量本征态分别有 0, 1 个零点;  $l = 1$  的最小能量本征态有 0 个零点。这再次确认了我们已经找到了最小的能量。从  $u_\infty$  开始求解的发散原因与 Sec.2.3.1中的讨论相同。

### 2.3.3 screenshot

程序使用了 numpy 和 matplotlib 和 scipy 库。在安装了依赖库的环境下运行 `q2_radial_Schrodinger.py` 即可。

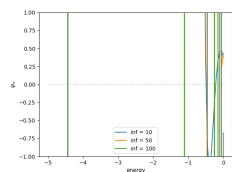


图 12:

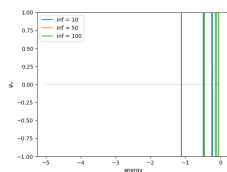


图 13:

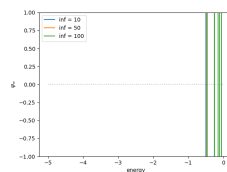


图 14:

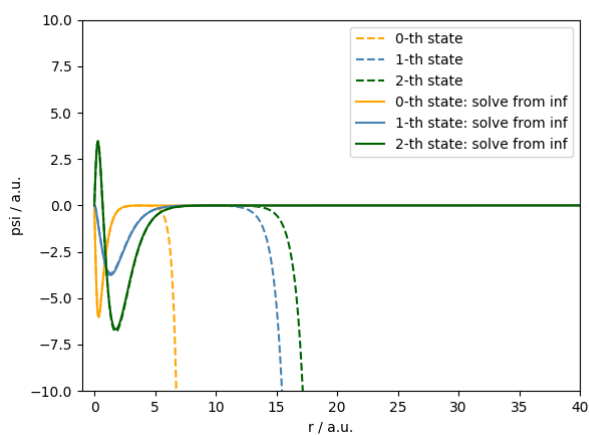


图 15: 代入  $E$  求解  $u$ 。节点数分别是 0,0,1, 对应  $l = 0$  的第 1, 2 小能量和  $l = 1$  的第一小能量。

```
eigenvalues (energies) of H, starting from r = 0: -0.4999992370605469 -0.12499923706054687 -0.05555603027343749
starting from r = 100.0: -0.4999992370605469 -0.12499923706054687 -0.05555603027343749
eigenvalues (energies) of Li, starting from r = 0: -4.458247184753418 -1.122279167175293 -1.1154321670532226
starting from r = 100.0: -4.458247184753418 -1.122279167175293 -1.1154321670532226
```

图 16: 程序运行截图

## 2.4 Pseudocode

---

**Algorithm 5** Radial Schrodinger

---

**Input:** potential  $V(r)$ , energy range  $el, er$  where  $u_\infty(el) < 0$  and  $u_\infty(er) > 0$

**Output:** energy eigenvalue  $E$

```
1:  $u_0 \leftarrow 0$ 
2:  $u'_0 \leftarrow 1$  ▷ arbitrary derivative, I chose 1
3:  $tol \leftarrow 1e - 5$ 
4: while  $\text{abs}(el - er) > tol$  do
5:   Solve  $u_\infty$  with energy  $E = \frac{el+er}{2}$  using RK-4 method ▷ see Algo.4
6:   if  $u_{infty} < 0$  then
7:      $el \leftarrow \frac{el+er}{2}$ 
8:   else
9:      $er \leftarrow \frac{el+er}{2}$ 
10:  end if
11: end while
12:  $E \leftarrow \frac{el+er}{2}$ 
Return:  $E$ 
```

---